

ПРИНЦИП ВСТРОЕННОГО ЭЛЕКТРИЧЕСКОГО ПОЛЯ В ПРОБЛЕМЕ ПОЛУПРОВОДНИКОВОЙ СПЕКТРОМЕТРИИ СИЛЬНО ИОНИЗИРУЮЩИХ ЧАСТИЦ

Еремин В. К., Медведев Л. С., Строкан Н. Б.

Проведено рассмотрение конкуренции двух рекомбинационных процессов — поверхностной и оже-рекомбинации для случая плотного стука неравновесных носителей. По условиям задачи носители возникают «мгновенно» во времени и локализованы у поверхности мелкого p^+ - n -перехода на время состояния плазмы (порядка нескольких наносекунд).

Установлено, что определяющую роль в динамике плазмы играет встроенное в p^+ -область электрическое поле, обусловленное градиентом концентрации примеси. Для этого необходимо согласование уровня легирования (p_0) и плотности ионизации в треке (Δp) так, чтобы $p_0 \gg \Delta p$.

Встроенное поле эффективно оттесняет носители от поверхности, что подавляет поверхностную рекомбинацию. Прослежена эффективность подавления (достигающая 10^3 раз) в функции масштаба и уровня легирования.

Спектрометрия сильно ионизирующих частиц с помощью полупроводников вплотную приблизилась к уровню точности, определяемому фундаментальными физическими ограничениями (флуктуации преобразования энергии частицы в неравновесный заряд электронов и дырок). Достижения технологии роста кремния позволили практически исключить вклад несовершенств материала, доминировавших в прошлом. Поэтому актуально исследование механизмов рекомбинации, характерных для структуры детектора в целом. Последние определяют снижение точности сравнительно с теоретическим значением.

Очевидно, что рекомбинация проявляется главным образом в треках короткопробежных частиц (α -частиц, протонов, осколков деления), образующих в кремнии электронно-дырочную плазму с концентрацией $\Delta n = \Delta p \sim 10^{16} \div 10^{18} \text{ см}^{-3}$. Высокая плотность приводит к экранировке внешнего электрического поля, что существенно замедляет транспорт неравновесного заряда в треке.

Известно, что для структур с барьером Шоттки наиболее эффективна рекомбинация через уровни на границе раздела металл—полупроводник. В детекторах с мелким p - n -переходом (полученным методом локальной диффузии) потери заряда оказались существенно меньшими [1]. Это связано, в первую очередь, с наличием в p^+ -слое встроенного электрического поля $E_0(x)$, обусловленного градиентом концентрации акцепторов $N_a(x)$ (рис. 1).

Действительно, если реализовать такой уровень легирования, чтобы вблизи поверхности равновесная концентрация дырок превышала Δn [$p_0(x) \gg \Delta n$], то на некотором отрезке (рис. 1) экранировки поля не произойдет. Далее, при $x > x_0$ поле перераспределяется аналогично структурам Шоттки, однако электроны, генерированные в слое $0 \leq x \leq x_0$, эффективно оттесняются от поверхности невозмущенным полем $E_0(x)$.

Развитие процесса во времени в слое $(0, x_0)$ также имеет особенность. Здесь очевидны две стадии: «быстрое» установление квазистационарного распределения концентрации $\Delta n(x, t)$ и последующее «длительное» его существование в течение времени $t_{\text{пп}}$ до полного «рассасывания» плазмы.

Высказанные соображения позволяют приступить к аналитическому рассмотрению рекомбинации в плазме трека, находящегося в области встроенного

поля мелкого $p^+ - n$ -перехода. Основной вопрос — конкуренция механизмов поверхностной рекомбинации и оже-процесса для носителей в сильно легированном p^+ -слое.¹

Диффузионно-дрейфовый перенос и рекомбинация электронов на отрезке $(0, x_0)$ описываются уравнением

$$\frac{\partial \Delta n}{\partial t} = \frac{\partial}{\partial x} [\mu_n(x) \Delta n E_0(x)] + \frac{\partial}{\partial x} \left[D_n(x) \frac{\partial \Delta n}{\partial x} \right] - \frac{\Delta n}{\tau(x)}. \quad (1)$$

Здесь $E_0(x) = \frac{kT}{q} \frac{d \ln N_d(x)}{dx}$ — напряженность встроенного электрического поля при отсутствии вырождения [3]; $\tau(x) = 1/\gamma p_0^2(x)$ — время жизни электронов, определяемое оже-рекомбинацией с участием двух дырок; подвижность μ_n и коэффициент диффузии D_n определяются невозмущенными значениями $p_0(x)$.²

Условия — начальное и на поверхности при скорости рекомбинации s — очевидны:

$$\Delta n|_{t=0} = N_0 = \text{const}, \quad \left(\mu_n E_0 \Delta n + D_n \frac{\partial \Delta n}{\partial x} \right)|_{x=0} = s \Delta n|_{x=0}. \quad (2)$$

Примем далее, что на второй границе $x=x_0$ в течение времени $t_{\text{пл}}$ неизменно сохраняется плазма $\Delta n = \Delta p = N_0$. Однако в момент времени $t=t_{\text{пл}}$ $\Delta n(x_0)$ падает скачком до нуля. Такое выключение «источника» для диффузии электронов к поверхности позволяет принять при $t > t_{\text{пл}}$ $\Delta n(x, t) \equiv 0$.

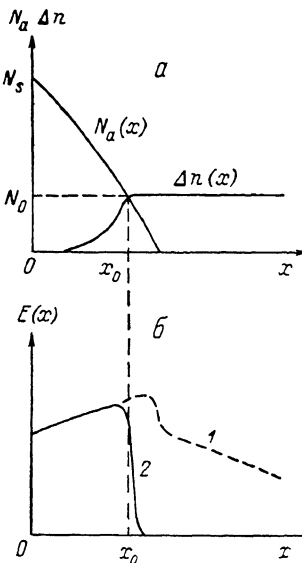


Рис. 1. Распределение концентраций акцепторов $N_a(x)$ и концентрации неравновесных электронов $\Delta n(x)$ в приповерхностной области $p^+ - n$ -перехода (а) и распределение электрического поля в отсутствие трека (1) и при наличии трека (2) (б).

Интересующее нас число рекомбинировавших электронов определяется величиной $\widetilde{\Delta n}(x) = \int_0^{t_{\text{пл}}} \Delta n(x, t) dt$. Поэтому проинтегрируем (1) по времени с учетом начального условия и $\Delta n|_{t=t_{\text{пл}}}=0$. Получаем

$$-N_0 = \frac{d}{dx} [\mu_n(x) E_0(x) \widetilde{\Delta n}(x)] + \frac{d}{dx} \left[D_n(x) \frac{d \widetilde{\Delta n}}{dx} \right] - \frac{\widetilde{\Delta n}}{\tau(x)} \quad (3)$$

с граничным условием

$$\widetilde{\Delta n}(x_0) = N_0 t_{\text{пл}}. \quad (4)$$

В мелких переходах легко реализуются поля $|E_0| \gg kT/q \sqrt{D_n \tau}$, что равносильно условию для характеристических длин $\mu_n |E_0| \tau \gg \sqrt{D_n \tau}$, т. е. преобладанию дрейфового переноса электронов. Поэтому объемная рекомбинация слабо влияет на динамику переноса носителей в слое и в уравнении (3) можно

¹ Сформулированная задача отличается от анализа роли встроенного поля, выполненного для кремниевых фотопреобразователей [2], следующими особенностями: 1) рассматривается случай высокого уровня инжекции; 2) масштаб потерь заряда, определяющих работу прецизионных детекторов, составляет до 10⁻² %, что на 3 порядка меньше характерных потерь в фотопреобразователях; 3) рекомбинация эффективна в течение времени существования плазмы трека, что требует рассмотрения нестационарной модели.

² Возможные поправки к $E_0(x)$, связанные с эффектом сужения зоны при сильном легировании, приведены в Приложении.

опустить член $\Delta n/\tau$. Последнее позволяет проинтегрировать (3). После подстановки $E_0(x)$ получаем

$$\frac{D_n(x)}{N_a(x)} \frac{d}{dx} [N_a(x) \tilde{\Delta n}(x)] = s \tilde{\Delta n}(0). \quad (5)$$

Примем для простоты $D_n(x)=D_0=\text{const}$. Тогда искомые относительные потери заряда на поверхности и за счет оже-процесса находятся из (5) с помощью условия (4)

$$\lambda_s = \frac{s \tilde{\Delta n}(0)}{HN_0} = \frac{s}{H} \left(\frac{N_0 t_{\text{нж}}}{N_s} + \frac{1}{D_0} \int_0^{x_0} \frac{N_a(x')}{N_s} x' dx' \right) / \left(1 + \frac{s}{D_0} \int_0^{x_0} \frac{N_a}{N_s} dx' \right), \quad (6)$$

$$\lambda_\tau = \frac{1}{HN_0} \int_0^{x_0} \frac{\tilde{\Delta n}(x)}{\tau(x)} dx = \lambda_s \frac{\gamma N_s^2}{s} \int_0^{x_0} dx \frac{N_a(x)}{N_s} \left[1 + \frac{s}{D_0} \int_0^x \left(1 - \frac{x'}{H\lambda_s} \right) \frac{N_a(x')}{N_s} dx' \right]. \quad (7)$$

Здесь H — длина трека частицы, $N_s=N_a(0)$ — концентрация акцепторов на поверхности.

Формулы (6), (7) дают связь относительных потерь заряда на поверхности и в объеме с параметрами приповерхностного слоя структуры и с напряжением смещения, приложенным к структуре (через величину $t_{\text{нж}}$).

Показательно, что полные потери заряда λ можно представить в виде суммы двух компонент, одна из которых (λ_0) не зависит от смещения и представляет собой «мертвый слой» детектора:

$$\lambda = \lambda_s + \lambda_\tau = \lambda_0 + \frac{t_{\text{нж}}}{\tau_{\text{эф}}}. \quad (8)$$

Здесь $1/\tau_{\text{эф}}=1/\tau_{\text{нб}}+1/\tau_{\text{нов}}$, а сами времена жизни $\tau_{\text{нб}}$ и $\tau_{\text{нов}}$, определяемые соответственно оже- и поверхностной рекомбинацией, записываются через характерный масштаб профиля распределения примеси в p^+ -слое L и зависящие от профиля параметры A_0 , B_0 , C_0 ,³ как

$$\tau_{\text{нб}} = \frac{H}{\gamma N_s N_0 L} \left(1 + \frac{sLA_0}{D_0} \right) / \left(1 + \frac{sLA_0}{2D_0} \right), \quad (9)$$

$$\tau_{\text{нов}} = H N_s \left(1 + \frac{sLA_0}{D_0} \right) / s N_0. \quad (10)$$

Для величин $\tau_{\text{эф}}$ и потерь в «мертвом слое» λ_0 удобной формой записи являются выражения

$$\tau_{\text{эф}} = \tau_{\text{нб}} \left(1 + \frac{sLA_0}{D_0} \right) \frac{N_s}{N_0} / \left[1 + \left(\frac{N_s}{N_{\text{опт}}} \right)^2 \right], \quad (11)$$

$$\lambda_0 = \frac{L^2}{D_0 \tau_{\text{нб}}} \left[1 + \frac{N_s^2}{N_{\text{опт}}^2} \left(1 - \frac{C_0}{A_0 B_0} \frac{1+sLA_0/D_0}{1+sLA_0/2D_0} \right) \right] \frac{B_0}{1+sLA_0/D_0}, \quad (12)$$

где

$$N_{\text{опт}} = [s/\gamma LA_0 (1 + sLA_0/2D_0)]^{1/2}, \quad (13)$$

$\tau_{\text{нб}}=H/s$ — эффективное время жизни в поверхностно-барьерном детекторе [4] (при отсутствии встроенного поля).

³ Для распределения $N_a(x/L)$ имеем $A(\xi) = \int_0^\xi \frac{N_a}{N_s} d\xi$, $B(\xi) = \int_0^\xi \xi \frac{N_a}{N_s} d\xi$, $C(\xi) = \int_0^\xi B(\xi) \frac{N_a}{N_s} d\xi$ и соответственно $A_0 = A(x_0/L)$, $B_0 = B(x_0/L)$, $C_0 = C(x_0/L)$. Например, для диффузационного профиля $N_a(x) = N_s \operatorname{erfc}(x/L)$ с точностью до величин порядка N_0/N_s имеем $A_0 = 1/\sqrt{\pi}$, $B_0 = 1/4$, $C_0 = \frac{1}{\sqrt{\pi}} \left(\sqrt{\frac{2}{\pi}} - 1 \right)$.

На рис. 2, 3 в функции параметров легирования N_s и L приведены зависимости $\tau_{\text{эфф}}/\tau_{\text{нб}}$ и λ_0 , отражающие конкуренцию двух рассматриваемых механизмов рекомбинации — поверхностной и оже-процесса. Отметим, что приведенное рассмотрение не учитывает вырождения функции распределения носителей, поэтому является корректным до $N_s \approx 2 \cdot 10^{19} \text{ см}^{-3}$, что отражено на рис. 2 штриховыми линиями. Действительно, при $N_s \geq 2 \cdot 10^{19} \text{ см}^{-3}$ градиент $N_a(x)$ не приводит к эффективному изменению положения уровня Ферми. Следовательно, напряженность встроенного поля оказывается недостаточной для подавления диффузии носителей к поверхности.

Практические выводы. Условием отсечения встроенным электрическим полем неравновесных носителей от поверхности является малость их концентрации по сравнению с концентрацией легирующей примеси. В отличие от

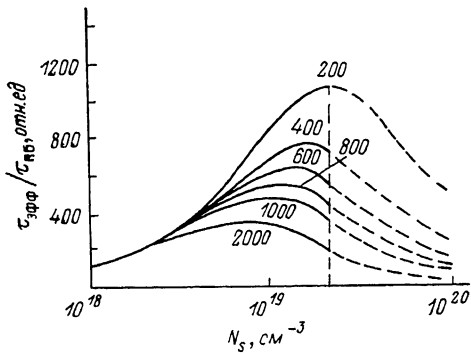


Рис. 2. Отношение эффективных времен жизни неравновесных носителей в случае встроенного электрического поля ($\tau_{\text{эфф}}$) и в поверхностно-барьерной структуре ($\tau_{\text{нб}}$) как функция поверхностной концентрации акцепторов N_s .

Цифры у кривых — характерный масштаб распределения акцепторов L , Å. Значения параметров в формулах (11), (13): $s = 10^3 \text{ см}/\text{с}$, $D_0 = -1 \text{ см}^2/\text{с}$, $\gamma = 2 \cdot 10^{-30} \text{ см}^6/\text{с}$, $N_0 = 10^{16} \text{ см}^{-3}$.

Фотопреобразователей для детекторов сильно ионизирующих частиц это условие существенно, так как плотность ионизации в треке достигает $10^{16} \div 10^{18}$ пар в 1 см³.

Эффективность подавления поверхностной рекомбинации имеет максимум, величина которого зависит от масштаба профиля легирования контакта (рис. 2). Максимальный выигрыш достигает 3 порядков (трек α -частиц, $N_0 = 10^{16} \text{ см}^{-3}$) и падает, согласно установленной закономерности, как $1/N_0$. Тем не менее даже в случае наиболее плотных треков (осколки деления ядер, $N_0 = 10^{18} \text{ см}^{-3}$) отношение $\tau_{\text{эфф}}/\tau_{\text{нб}}$ достигает значения ~ 10 .

Несмотря на действие встроенного поля, существует компонента потерь заряда в приповерхностном «мертвом слое». Ее величина не зависит от внешнего смещения и выражается как $\lambda_0 \sim L^2 [1 + f(L) N_s^2]$ [см. (12)]. Эти потери соответствуют стадии быстрого установления диффузионно-дрейфового равновесия в слое $(0, x_0)$ и отражают рекомбинацию как на поверхности, так и в результате оже-процесса.

Сделанные выводы позволяют объяснить достигнутый недавно прогресс в спектрометрии короткопробежных частиц при переходе от барьеров Шоттки к планарным структурам. Действительно, полученные на планарных структурах результаты близки к теоретическому пределу [^{1, 5-10}].

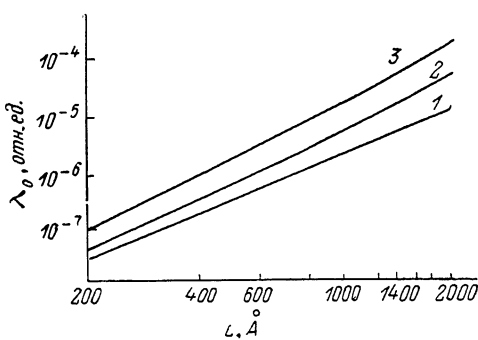


Рис. 3. Зависимость относительных потерь заряда λ_0 в «мертвом слое» от масштаба распределения примеси L .

$N_s \cdot 10^{-19}, \text{ см}^{-3}$: 1 — 0.1, 2 — 1, 3 — 2. Остальные параметры те же, что и на рис. 2.

Эффект сужения запрещенной зоны хорошо аппроксимируется выражением $\Delta E_a = kT (a + b \ln N_a)$, что приводит к формуле для напряженности встроенного поля [11]

$$E_0(x) = \left(1 - \frac{b}{2}\right) \frac{kT}{q} \frac{d \ln N_a}{dx}. \quad (\text{П. 1})$$

Здесь предполагается, что края запрещенной зоны сдвигаются одинаковым образом. В результате указанной подстановки все выводы статьи остаются в силе при замене L на $L/(1-b/2)$. В этом случае, согласно [11], масштаб L меняется в 5 раз.

Л и т е р а т у р а

- [1] Вербицкая Е. М., Еремин В. К., Маляренко А. М., Медведев Л. С., Строкан Н. Б., Суханов В. Л. — ФТП, 1987, т. 21, в. 8, с. 1394—1399.
- [2] Евдокимов В. М. — В кн.: Фотоприемники и фотопреобразователи. Л., 1986, с. 148—180.
- [3] Зи С. Физика полупроводниковых приборов, т. 1. М., 1984. 453 с.
- [4] Кущнирук В. Ф. — Препринт ОИЯИ, № Р13-11933. Дубна, 1978.
- [5] Вербицкая Е. М., Еремин В. К., Маляренко А. М., Строкан Н. Б., Суханов В. Л. — Письма ЖТФ, 1986, т. 12, в. 20, с. 1254—1258.
- [6] Von Borany J., Mende G., Schmidt B. — NIM, 1983, v. 212, p. 489—492.
- [7] EGGERTEC. Radiation Detection Catalog, Oak Ridge (USA), 1983—1984, p. 37.
- [8] Product Information, Schlumberger Catalog, Lingolsheim (France), 1984, p. 16.
- [9] Еремин В. К., Вербицкая Е. М., Строкан Н. Б., Суханов В. Л., Маляренко А. М. — ЖТФ, 1986, т. 56, в. 10, с. 1987—1989.
- [10] Canberra, Edition Seven. Catalog, Meriden (USA), 1985, p. 61.
- [11] Pantelides S. T., Selloni A., Car R. — Sol. St. Electron., 1985, v. 28, N 1/2, p. 17—24.

Физико-технический институт
им. А. Ф. Иоффе АН СССР
Ленинград

Получена 10.06.1987
Принята к печати 21.10.1988